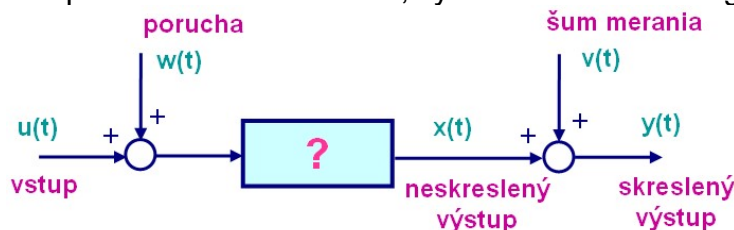


5 DETERMINISTICKÉ METÓDY IDENTIFIKÁCIE

⇒ **Dynamické modely** – vyjadrujú **vlastnosti** identifikovaných systémov v **prechodných režimoch**

⇒ **Všeobecný postup** pri identifikácii dynamických systémov:

- meranie vstupno-výstupných závislostí,
- určenie neparametrického modelu – vyhodnotenie meraní,
- parametrizácia neparametrického modelu, výberom vhodného algoritmu.

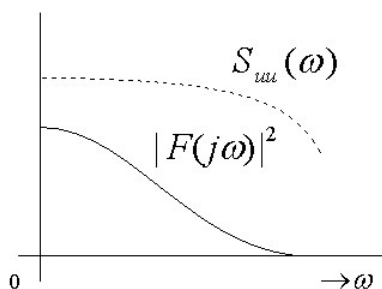


⇒ **Minimalizácia vplyvu rušivých vstupov**

- vykonáme **viac meraní** charakteristík toho istého procesu a **parametrizovať** budeme strednú hodnotu týchto meraní,
- alebo vyhodnotíme viac meraní a určíme stredné hodnoty hľadaných parametrov.

⇒ Identifikácia **sústavy s viacerými vstupmi** – všetky ostatné vstupy okrem aktívneho treba udržiavať v pracovnom bode na konštantnej hodnote počas celého merania.

⇒ **Vstupné signály** musia preverovať **prenosové vlastnosti** sústavy **v celej oblasti prenášaných frekvencií**, t.j. mali by mať **konštantný priebeh frekvenčného spektra** v tej oblasti frekvencií, kde je modul frekvenčného prenosu podstatne odlišný od nuly



$$S_{uu}(\omega) = \int_{-\infty}^{\infty} R_{uu}(\tau) e^{-j\omega\tau} d\tau$$

$$R_{uu}(\tau) = \lim_{g \rightarrow \infty} \frac{1}{g} \int_{-0.5\tau}^{0.5\tau} u(t + \tau) u(t) dt$$

⇒ Túto vlastnosť spĺňa fiktívny signál „**biely šum**“, ktorý je považovaný za **model testovacieho signálu**, ku ktorému by sa mal vstupný signál čo najviac približovať.

⇒ **Deterministické metódy** – predpokladáme, že vstupná veličina je **deterministický signál**, čiže **neuvažujeme pôsobenie náhodných veličín** na systém, resp. predpokladáme, že **pomer intenzity parazitných šumov k intenzite riadeného signálu** je dostatočne **malý**.

⇒ Užitočné **deterministické signály**:

- jednotkový skok,
- harmonický signál,
- pseudonáhodný signál.

5.1. Identifikácia z prechodovej charakteristiky

👉 **Negatíva:** je potrebný aktívny experiment

👉 **Pozitíva:** jednoduchá realizácia, slúžia najmä na prvotnú orientačnú identifikáciu

⇒ **Pred uskutočnením skokovej zmeny** je potrebné, aby **systém bol v ustálenom stave**

⇒ Možné problémy:

- **určenie rádu modelu** z prechodovej charakteristiky – prechodové charakteristiky vyšších rádu majú podobný priebeh
- **možný vplyv nelinearít** – pri experimente systém prejde z jedného pracovného bodu do druhého, čím väčší skok vstupnej veličiny, tým väčší tento vplyv môže byť. Je vhodné urobiť niekoľko skokových zmien rozličných veľkostí a smerov (N meraní) a pre stanovenie výslednej prechodovej charakteristiky použiť vzorec:

$$y_v(i) = \frac{\sum_{k=1}^N \Delta u_k y_k(i)}{\sum_{k=1}^N (\Delta u_k)^2}$$

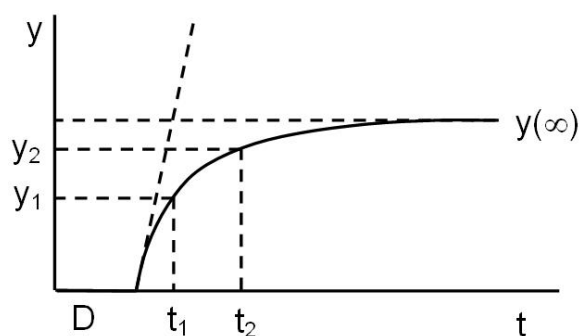
kde i - i-ty bod prechodovej charakteristiky
 k - k-te meranie ($k=1, \dots, N$)
 Δu_k - skoková zmena vstupu pri k-tom meraní
 $y_k(i)$ - hodnota výstupu pri k-tom meraní v i-tom bode (v čase $t = i \Delta t$)
 $y_v(i)$ - výsledná hodnota prechodovej charakteristiky v i-tom bode.

5.1.1. Sústava 1.rádu

Prenos: $F(s) = \frac{K}{1 + Ts} e^{-Ds}$

Časová forma:
$$y(t) = \begin{cases} 0 & t < D \\ K \left(1 - e^{-\frac{t-D}{T}} \right) & t \geq D \end{cases}$$

Neznáme parametre: ? K, T, D



1. metóda

Predpoklad: poznáme $y(\infty)$ a ľubovoľné 2 body prechodovej charakteristiky $[t_1, y_1]$ a $[t_2, y_2]$

$$y_1(t_1) = K \left(1 - e^{-\frac{t_1-D}{T}} \right) \quad y_2(t_2) = K \left(1 - e^{-\frac{t_2-D}{T}} \right)$$

Ich zlogaritmovaním a následnou úpravou dostaneme výsledné vzťahy.

☒ **Postup:**

1. $K = y(\infty)$
2. $T = \frac{t_2 - t_1}{\ln \left(\frac{K - y_1}{K - y_2} \right)}$
3. $D = \frac{t_2 x - t_1}{x - 1}$, kde $x = \frac{\ln \frac{K - y_1}{K}}{\ln \frac{K - y_2}{K}}$

2. metóda

Predpoklad: poznáme $y(\infty)$ a 2 body prechodovej charakteristiky $[t_1, y_1]$ a $[t_2, y_2]$, pre ktoré platí $y_1 = 0.33y(\infty)$ s odpovedajúcim časom $t_1 = t_{0.33}$ a $y_2 = 0.70y(\infty)$ s časom $t_2 = t_{0.7}$. Metóda vychádza z porovnania náhradnej prechodovej charakteristiky so skutočnou prechodovou charakteristikou v bodoch $y(0)$, $y(t_{0.33})$, $y(t_{0.7})$ a $y(\infty)$.

☒ **Postup:**

1. $K = y(\infty)$
2. $T = 1.245(t_{0.7} - t_{0.33})$
3. $D = 1.498t_{0.33} - 0.498t_{0.7}$

3. metóda (Broïdova)

Predpoklad: poznáme $y(\infty)$ a 2 body prechodovej charakteristiky $[t_1, y_1]$ a $[t_2, y_2]$, pre ktoré platí $y_1 = 0.28y(\infty)$ s odpovedajúcim časom $t_1 = t_{0.28}$ a $y_2 = 0.4y(\infty)$ s časom $t_2 = t_{0.4}$.

☒ **Postup:**

1. $K = y(\infty)$
2. $T = 5.5(t_{0.4} - t_{0.28})$
3. $D = 2.8t_{0.28} - 1.8t_{0.4}$

Poznámka: T je možné tiež odčítať z prechodovej charakteristiky ako čas, za ktorý dosiahne výstupná veličina 63% svojej ustálenej hodnoty (resp. v čase 3T dosiahne 95% ustálenej hodnoty).

5.1.2. Aperiodická sústava 2. rádu

a) Rovnaké časové konštanty

Prenos:
$$F(s) = \frac{K}{(1 + Ts)^2} e^{-Ds}$$

Neznáme parametre: **?** K, T, D

Predpoklad: poznáme $y(\infty)$ a 2 body prechodovej charakteristiky $[t_1, y_1]$ a $[t_2, y_2]$, pre ktoré platí $y_1 = 0.33y(\infty)$ s odpovedajúcim časom $t_1 = t_{0.33}$ a $y_2 = 0.70y(\infty)$ s časom $t_2 = t_{0.7}$. Metóda vychádza z porovnania náhradnej prechodovej charakteristiky so skutočnou prechodovou charakteristikou v bodoch $y(0)$, $y(t_{0.33})$, $y(t_{0.7})$ a $y(\infty)$.

☒ **Postup:**

1. $K = y(\infty)$
2. $T = 0.794(t_{0.7} - t_{0.33})$
3. $D = 1.937t_{0.33} - 0.937t_{0.7}$

b) Rozdielne časové konštanty

Prenos:
$$F(s) = \frac{K}{(T_1 s + 1)(T_2 s + 1)}$$

Časová forma:
$$y(t) = K \left(1 - \frac{T_1}{T_1 - T_2} e^{-\frac{t}{T_1}} + \frac{T_2}{T_1 - T_2} e^{-\frac{t}{T_2}} \right)$$

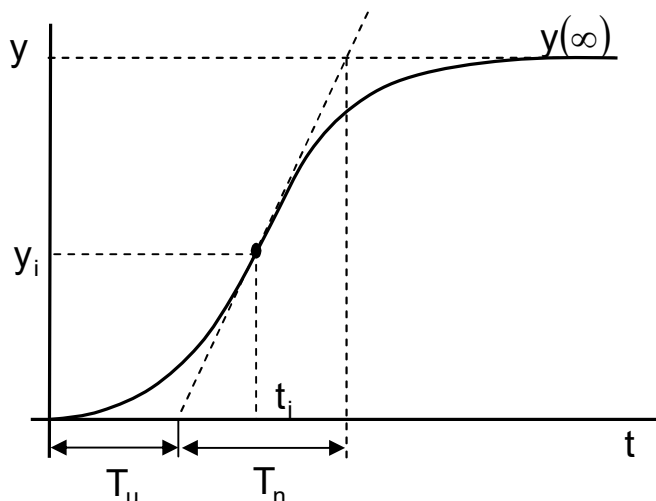
Neznáme parametre:

? K, T_1, T_2

T_n	doba nábehu
T_u	doba prietahu

Metóda vychádza zo vzťahov platných pre **dotyčnicu prechodovej charakteristiky v inflexnom bode** $[t_i, y_i]$:

1. Dotyčnica je daná priamkou $p = a + bt$.
2. Priamka prechádza bodmi $[T_u, 0]$, $[T_u + T_n, K]$, $[t_i, y_i]$ a platí $b = \frac{K}{T_n}$ a $a = -T_u b$.
3. Smernica priamky je daná ako $b = \dot{y}(t_i)$.
4. Pre inflexný bod platí $\ddot{y}(t_i) = 0$.



Definujeme $k = \frac{T_2}{T_1}$, potom sa z predchádzajúcich vzťahov dá odvodiť, že platí:

$$\frac{T_n}{T_u} = f_1(k) = \frac{1}{k^{-\frac{k}{k-1}} \left[1 + k + \frac{k}{k-1} \ln k \right] - 1}$$

$$\frac{T_n}{T_1} = f_2(k) = k^{\frac{k}{k-1}}$$

Predpoklad: poznáme $y(\infty)$, T_n , T_u a máme k dispozícii závislosti $f_1(k)$ a $f_2(k)$ vo forme tabuľky alebo grafu, napr.:

k	0,05	0,1	0,2	0,4	0,8	0,9	0,95	0,99	1,05	1,1	1,3	2
$f_2(k)$	1,171	1,292	1,495	1,842	2,441	2,581	2,65	2,705	2,786	2,853	3,117	4
$f_1(k)$	31,737	20,088	13,974	10,91	9,72	9,665	9,653	9,649	9,652	9,662	9,748	10,355



Postup:

1. $K = y(\infty)$
2. $\frac{T_n}{T_u} = f_1(k) \Rightarrow$ z tabuľky alebo grafu odčítame k
3. pre dané k odčítame z tabuľky alebo grafu $f_2(k) \Rightarrow T_1 = \frac{T_n}{f_2(k)}$
4. $T_2 = kT_1$

Poznámka:

Ak $f_1(k) < 9.65$, **nie je možné aproximovať** správanie systému sústavou 2. rádu s nerovnakými časovými konštantami.

5.1.3. Kmitavá sústava 2. rádu

a) Bez dopravného oneskorenia

Prenos:
$$F(s) = \frac{K}{T^2 s^2 + 2\xi Ts + 1} = \frac{K\omega_0^2}{s^2 + 2\omega_0\xi s + \omega_0^2}$$

Časová forma:
$$y(t) = K \left[1 - \frac{1}{P} e^{-\xi\omega_0 t} \sin(\omega_0 P t + \varphi) \right] \quad P = \sqrt{1 - \xi^2} \quad \varphi = \arccos \xi \quad P = \sin \varphi$$

Neznáme parametre: **?** $K, T, (\omega_0), \xi$

$\omega_0 = \frac{1}{T}$	prirodzená frekvencia
$\omega_v = \omega_0 \sqrt{1 - \xi^2}$	vlastná frekvencia
ξ	tlmenie

Platí: $\omega_v = \frac{2\pi}{\Delta t}$ kde $\Delta t = t_2 - t_1$

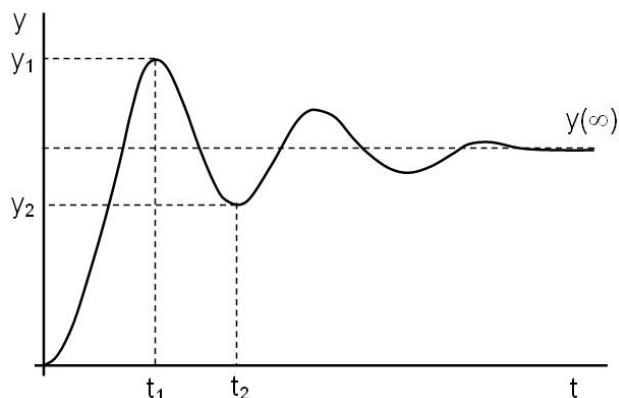
t_1 a t_2 sú časy, kedy prechodová charakteristika nadobúda prvé 2 maximá.

1. metóda

Metóda vychádza z toho, že **derivácia prechodovej charakteristiky v extrémoch je rovná nule**.

$$\dot{y}(t_k) = K \frac{\omega_0}{P} e^{-\xi\omega_0 t_k} \sin(\omega_0 P t_k) = 0 \quad k = 1, 2$$

$$\sin(\omega_0 P t_k) = 0 \quad \Rightarrow \quad t_k = \frac{k\pi}{\omega_0 P}$$



Po dosadení do rovnice výstupu dostaneme:

$$y(t_k) = K \left[1 - \frac{1}{P} e^{-\frac{1}{P} k\pi\xi} \sin(k\pi + \varphi) \right] = K [1 - (-1)^k M^k] \quad \text{kde} \quad M = e^{-\frac{1}{P}\pi\xi}, \quad k = 1, 2$$

Predpoklad: poznáme $y(\infty)$ a súradnice prvých 2 extrémov prechodovej charakteristiky $[t_1, y_1]$ a $[t_2, y_2]$.

☒ Postup:

1. $K = y(\infty)$

2. $y_1 = K(1 + M), \quad y_2 = K(1 - M^2) \quad \Rightarrow$

$$M = \frac{y_1 - y_2}{y_1}$$

3. $M = e^{-\frac{1}{P}\pi\xi} \quad \text{kde} \quad P = \sqrt{1 - \xi^2} \quad \Rightarrow$

$$\xi = \frac{\ln M}{\sqrt{\pi^2 + \ln^2 M}}$$

4. $t_1 = \frac{\pi}{\omega_0 P}, \quad t_2 = \frac{2\pi}{\omega_0 P} \quad \Rightarrow$

$$\omega_0 = \frac{\pi}{(t_2 - t_1)\sqrt{1 - \xi^2}}, \quad T = \frac{1}{\omega_0}$$

2. metóda

Predpoklad: poznáme $y(\infty)$ a súradnice prvých 2 maxím prechodovej charakteristiky $[t_1, y_1]$ a $[t_2, y_2]$.

✓ **Postup:**

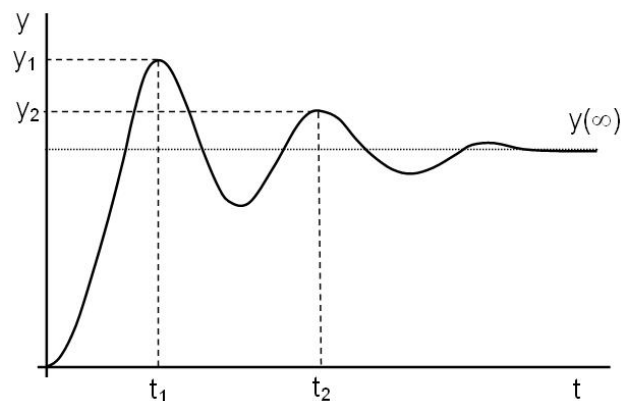
1. $K = y(\infty)$

2. $c = \frac{1}{\pi} \ln \left(\frac{y_1}{K} - 1 \right) \Rightarrow$

$$\xi = \frac{-c}{\sqrt{1+c^2}}$$

3. $\Delta t = t_2 - t_1 \Rightarrow$

$$T = \frac{\Delta t}{2\pi\sqrt{1+c^2}}$$



3. metóda

Predpoklad: poznáme $y(\infty)$ a súradnice prvých 2 maxím prechodovej charakteristiky $[t_1, y_1]$ a $[t_2, y_2]$.

✓ **Postup:**

1. $K = y(\infty)$

2. $A_1 = y_1 - y(\infty), A_2 = y_2 - y(\infty), \delta = \frac{A_1}{A_2} \Rightarrow$

$$\xi = \frac{\ln \delta}{\sqrt{(\ln \delta)^2 + 4\pi^2}}$$

3. $\Delta t = t_2 - t_1 \Rightarrow$

$$T = \frac{\Delta t}{2\pi} \sqrt{1 - \xi^2}$$

b) S dopravným oneskorením

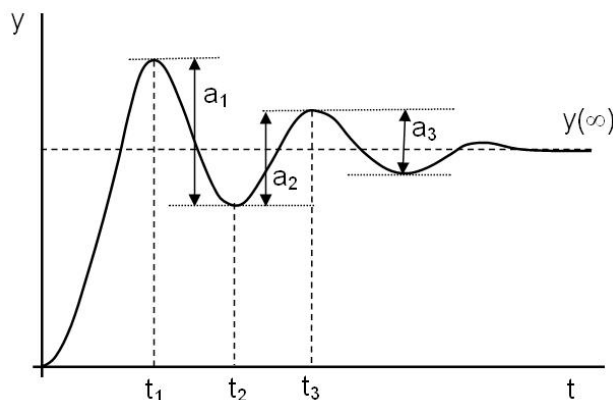
Prenos:
$$F(s) = \frac{Ke^{-Ds}}{T^2s^2 + 2\xi Ts + 1} = \frac{K\omega_0^2 e^{-Ds}}{s^2 + 2\omega_0\xi + \omega_0^2}$$

Časová forma:
$$y(t) = K \left[1 - \frac{1}{P} e^{-\xi\omega_0(t-D)} \sin(\omega_0 P(t-D) + \varphi) \right]$$

Neznáme parametre:

$$? K, T, (\omega_0), \xi, D$$

Predpoklad: poznáme $y(\infty)$ a súradnice extrémov prechodovej charakteristiky $[t_1, y_1]$, $[t_2, y_2]$, atď.... Z nich vypočítame hodnoty a_1 , a_2 , atď., n je počet vypočítaných hodnôt a_i .



Postup:

1. $K = y(\infty)$

2. $\xi = -\frac{\ln \frac{a_{i+1}}{a_i}}{\sqrt{\pi^2 + \ln^2 \frac{a_{i+1}}{a_i}}}$ alebo $\xi = -\frac{\ln \frac{a_{i+2}}{a_i}}{\sqrt{4\pi^2 + \ln^2 \frac{a_{i+2}}{a_i}}}$

(ak sú získané hodnoty rozdielne, výsledná hodnota sa získa ako ich aritmetický priemer)

3. $T = \frac{1}{\pi n} (t_{n+1} - t_1) \sqrt{1 - \xi^2}$ kde n je počet získaných hodnôt a_i , $i = 1, \dots, n$

4. $D = \frac{1}{n} \sum_{i=1}^n t_i - \frac{n+1}{2n} (t_{n+1} - t_1)$

Poznámka:

Uvedená metóda dáva **dobré výsledky** v prípade, že **časová konštanta T je podstatne väčšia ako ďalšie časové konštanty sústavy** (ak je skutočná dynamika identifikovanej sústavy vyššieho rádu).

 **Príklad** → *priklady_prech_char.pdf* + *cvičenia*

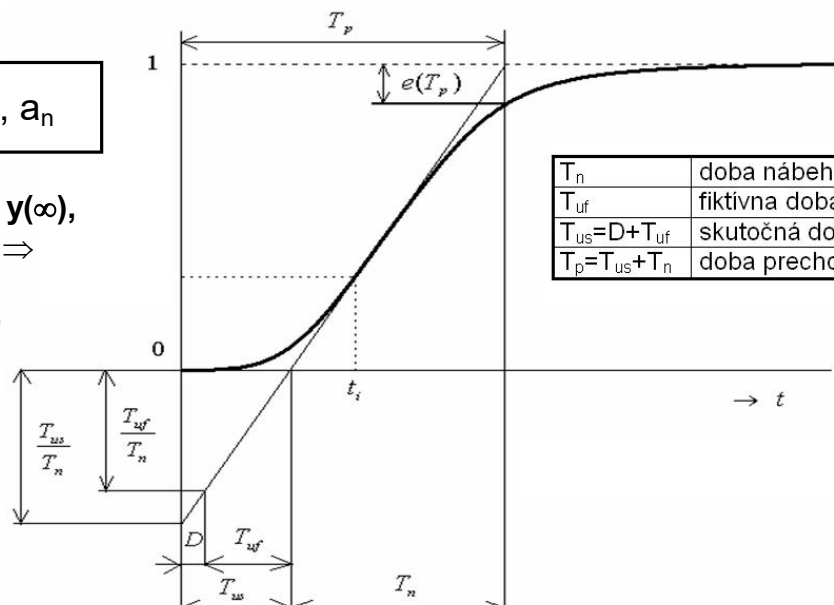
5.1.4. Aperiodická sústava vyššieho rádu

Prenos: $F(s) = \frac{K}{a_n s^n + a_{n-1} s^{n-1} + \dots + a_1 s + 1} e^{-Ds}$

Neznáme parametre:

? n, K, D, a_1, \dots, a_n

Predpoklad: poznáme $y(\infty)$, T_n , T_{us} , prípadne $e(T_p)$ ⇒ máme viac neznámych parametrov modelu ako známych veličín



Zjednodušenie:

a) **Strejc** $\frac{K}{(1+sT)^n} e^{-Ds} \Rightarrow$ **? n, K, T, D**

b) **Broïda** $\frac{K}{\prod_{i=1}^n \left(1 + \frac{T}{i} s\right)} e^{-Ds} \Rightarrow \boxed{? \ n, K, T, D}$

c) **Hudzovič** $\frac{K}{\prod_{i=0}^{n-1} \left(1 + \frac{T}{1-i \frac{r}{n-1}} s\right)} e^{-Ds} \Rightarrow \boxed{? \ n, K, T, D, r}$

parameter rozloženia časových konštánt

$0 \leq r = \frac{T_{\max} - T_{\min}}{T_{\max}} < 1$

Strejcov prenos: $r = 0$

Broidov prenos: $r = \frac{n-1}{n}$

a) Strejcova metóda

Prenos: $F(s) = \frac{K}{(1+sT)^n} e^{-Ds}$

Časová forma: $y(t) = 1 - e^{-\frac{t}{T}} \sum_{k=0}^{n-1} \frac{1}{k!} \left(\frac{t}{T}\right)^k$

Neznáme parametre: $\boxed{? \ n, K, T, D}$

Postup odvodenia je **rovnaký ako pri aperiodickej sústave 2. rádu**, využíva vlastnosti dotýčnice prechodovej charakteristiky v inflexnom bode $[t_i, y_i]$.

Prvá a druhá derivácia výstupu je:

$$\dot{y}(t) = \frac{1}{T^n(n-1)!} t^{n-1} e^{-\frac{t}{T}} \quad \ddot{y}(t) = \frac{1}{T^n} \left[\frac{t^{n-2}}{(n-2)!} - \frac{1}{T} \frac{t^{n-1}}{(n-1)!} \right] e^{-\frac{t}{T}}$$

V inflexnom bode platí:

$\ddot{y}(t_i) = 0 \Rightarrow t_i = T(n-1)$ dosadíme do prvej derivácie, pričom platí $\dot{y}(t_i) = \frac{K}{T_n}$

$\dot{y}(t_i) = \frac{(n-1)^{n-1}}{T(n-1)!} e^{-(n-1)} = \frac{1}{T_n} \Rightarrow \boxed{\frac{T}{T_n} = \frac{(n-1)^{n-1}}{(n-1)!} e^{-(n-1)} = g(n)}$

Rovnako sa dá odvodiť aj vzťah:

$$\boxed{\frac{T_u}{T_n} = e^{-(n-1)} \left[\frac{(n-1)^n}{(n-1)!} + \sum_{k=0}^{n-1} \frac{1}{k!} (n-1)^k \right] - 1 = f(n)}$$

Funkcie **f(n)** a **g(n)** pre celočíselné hodnoty n sú **dané vo forme tabuľky**:

n	1	2	3	4	5	6
f(n)	0	0,104	0,218	0,319	0,410	0,496
g(n)	1	0,368	0,271	0,224	0,195	0,161

Predpoklad: poznáme **y(∞)**, **T_n**, **T_{us}** a máme k dispozícii závislosti **f(n)** a **g(n)** (tabuľka, graf)

☒ **Postup:**

1. $K = y(\infty)$

2. $f_s = \frac{T_{us}}{T_n} \Rightarrow$ nájdeme (v tabuľke) také n_0 , pre ktoré platí $f(n_0) \leq f_s < f(n_0 + 1)$
 $\Rightarrow n_0$ je rád modelu
3. $D = (f_s - f(n_0))T_n$ (rozdiel medzi skutočným a fiktívnym časom nábehu)
4. $T = T_n g(n_0)$

b) Broïdova metóda

Prenos:
$$\frac{K}{\prod_{i=1}^n \left(1 + \frac{T}{i} s\right)} e^{-Ds}$$

Neznáme parametre: ? n, K, T, D

☒ **Postup:**

je **rovnaký** ako pri Strejcovej metóde, iba **funkcie $f(n)$ a $g(n)$** sú pre Broïdov prenos **iné**:

n	1	2	3	4	5	6
$f(n)$	0	0,096	0,192	0,268	0,331	0,385
$g(n)$	1	0,500	0,440	0,420	0,410	0,400

c) Hudzovičova metóda

Prenos:
$$\frac{K}{\prod_{i=0}^{n-1} \left(1 + \frac{T}{1 - i \frac{r}{n-1}} s\right)} e^{-Ds}$$

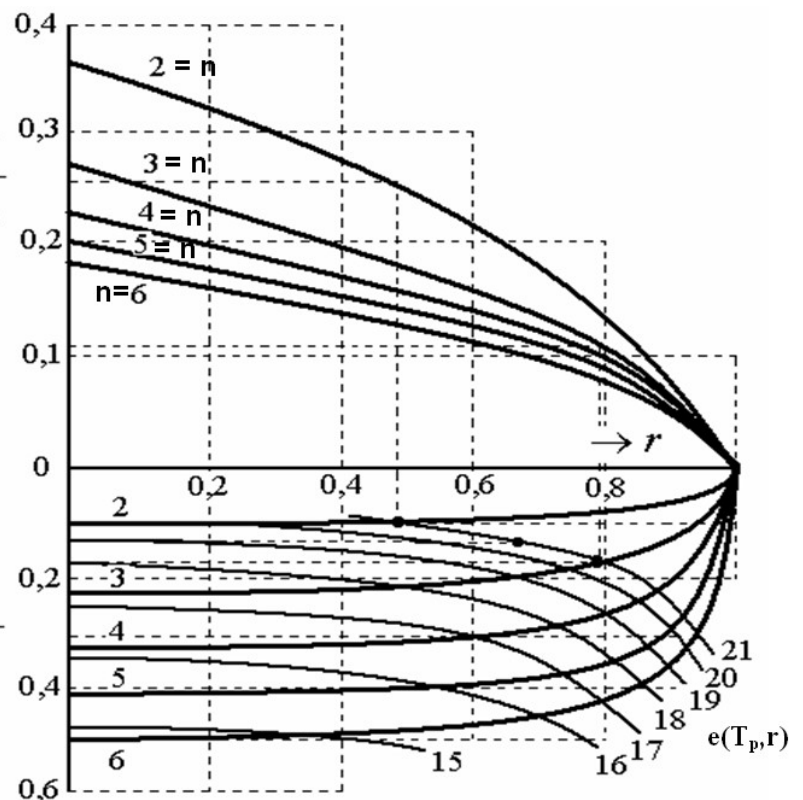
Neznáme parametre: ? n, K, T, D, r

Počet identifikovaných parametrov sa oproti predchádzajúcim dvom prenosom **zvýšil o jeden**, je potrebné **zväčšiť** aj počet **nameraných údajov**.

Ako vhodná sa ukázala hodnota rozdielu **doplňku normovanej PCH od ustáleného stavu** v čase $T_p = T_u + T_n$ daná ako $e(T_p) = 1 - y(T_p)$ (v prípade nenormovanej PCH vyjadrená v percentách).

$$g(n, r) = \frac{T}{T_n} \uparrow$$

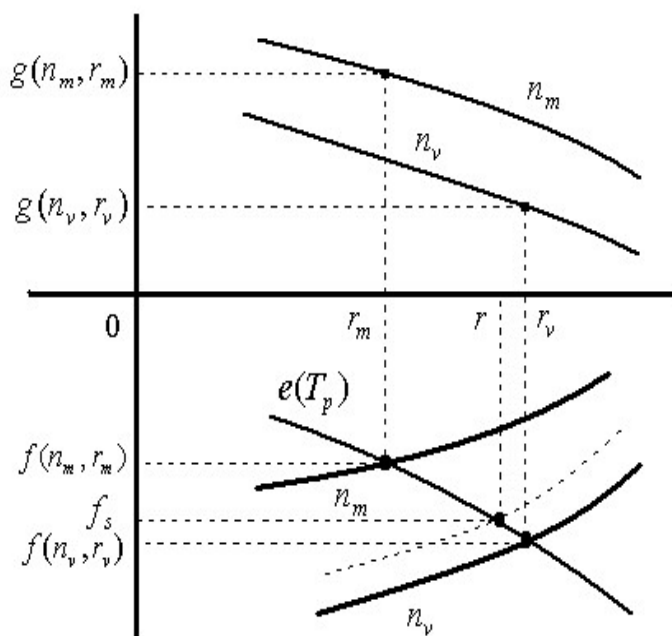
$$f(n, r) = \frac{T_u}{T_n} \downarrow$$



Pri identifikácii sa pracuje s funkciami: $\frac{T_u}{T_n} = f(n, r)$, $\frac{T}{T_n} = g(n, r)$, $e(T_p) = e(T_p, r)$ a používajú sa ich grafické priebehy (nomogramy). V dolnej časti je graf funkcie $f(n, r)$ pri spojitý zmene parametra r a s vyznačením celočíselnej hodnoty rádu n , v hornej časti je rovnaký graf funkcie $g(n, r)$ a v dolnej časti je tenšou čiarou nakreslený priebeh funkcie $e(T_p, r)$ s vyznačením konštantnej hodnoty doplnku v percentách.

✓ Postup:

1. $K = y(\infty)$
2. znormujeme prechodovú charakteristiku tak, aby sa výstup blížil k 1 \Rightarrow určíme $f_s = \frac{T_{us}}{T_n}$ a $e(T_p) = (1 - y(T_p))100$ [%]
3. v dolnej časti grafu určíme priesečník týchto údajov $P(n, r)$ a presunieme sa do bodu $P(n_m, r_m)$, ktorý zodpovedá najbližšiemu celočíselnému rádu v smere k nižším hodnotám f_s pri zachovaní konštantného $e(T_p) \Rightarrow n_m$ je rád modelu a r_m je parameter rozloženia časových konštánt
4. $D = (f_s - f(n_m, r_m))T_n$
5. $T = T_n g(n_m, r_m)$



📄 **Příklad** \rightarrow *priklady_prech_char.pdf + cvičenia*

5.1.5. Integračná sústava bez zotrvačného člena

Prenos: $F(s) = \frac{K}{s} = \frac{1}{T_i s}$

Neznáme parametre: ? $K(T_i)$

Odozva sústavy pri skokovej zmene vstupu

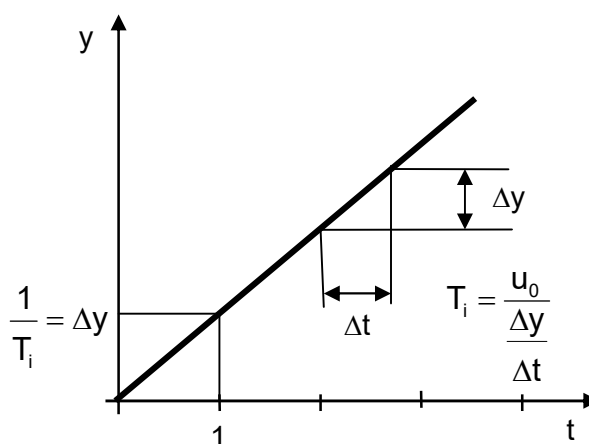
s veľkosťou u_0 je $y(t) = \frac{u_0}{T_i} t$

Pre smernicu odozvy platí

$$\frac{dy(t)}{dt} = \frac{u_0}{T_i}$$

\Rightarrow

$T_i = \frac{u_0}{\frac{\Delta y}{\Delta t}}$



Ak $u_0=1$ a zvolíme $\Delta t=1$, potom

$$T_i = \frac{1}{\Delta y}$$

t.j. integračná časová konštanta je rovná prevrátenej hodnote prírastku Δy za čas $\Delta t=1$.

✓ Postup:

1. Vykreslíme asymptotu k prechodovej charakteristike.
2. Odčítame Δt a Δy a vypočítame T_i .

5.1.6. Integračná sústava so zotrvačným členom

Prenos: $F(s) = \frac{1}{T_i s} \frac{1}{(Ts + 1)^n}$

Neznáme parametre:

$$? T_i, T, n$$

✓ Postup:

1. Vykreslíme asymptotu k prechodovej charakteristike.
2. Odčítame Δt a Δy a vypočítame T_i ako v prípade čiste integračného člena.
3. Odčítame t_0 a $y(t_0)$ a vypočítame pomocnú konštantu

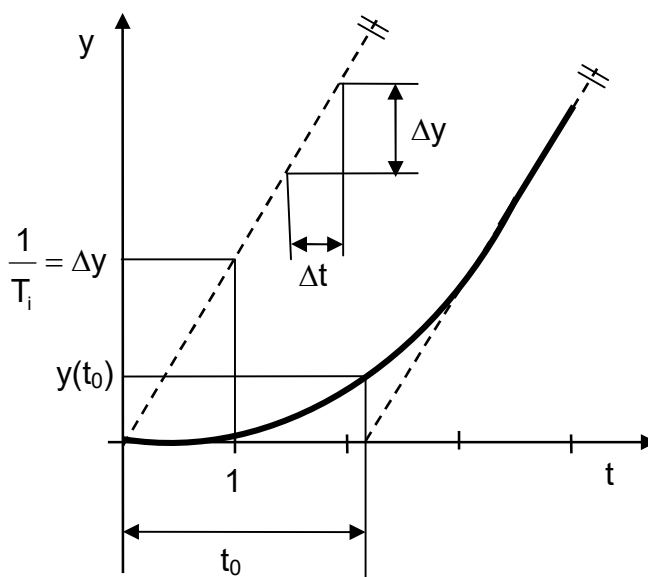
$$A = \frac{y(t_0)}{\frac{t_0}{T_i}}$$

4. Z tabuľky určíme rád systému n na základe hodnoty A .

n	1	2	3	4
A	0,368	0,271	0,224	0,195

5. Vypočítame časovú konštantu

$$T = \frac{t_0}{n}$$



5.2. Identifikácia z impulznej charakteristiky

5.2.1. Metóda momentov

⇒ Metóda je vhodná pre lineárne systémy s aperiodickým priebehom odozvy.

Prenos: $F(s) = \frac{b_m s^m + b_{m-1} s^{m-1} + \dots + b_1 s + b_0}{a_n s^n + a_{n-1} s^{n-1} + \dots + a_1 s + 1}$

Neznáme parametre:

$$? a_1, \dots, a_n, b_0, \dots, b_m$$

Predpoklad: nameraná **impulzná charakteristika** (váhová funkcia), (vzorky h_j , $j=1, \dots, N$ v časoch t_j)

poznáme (odhadneme) **rády čitateľa a menovateľa**

Vzťah medzi **váhovou funkciou a hľadaným prenosom** je daný pomocou **Laplaceovej transformácie**

$$F(s) = L\{h(t)\} = \int_0^{\infty} h(t)e^{-st} dt$$

Člen e^{-st} v okolí bodu $st=0$ rozvinúť do Taylorovho radu

$$F(s) = \int_0^{\infty} \left[1 - st + \frac{(st)^2}{2!} - \frac{(st)^3}{3!} + \dots \right] h(t) dt = \int_0^{\infty} h(t) dt - s \int_0^{\infty} t h(t) dt + \frac{s^2}{2!} \int_0^{\infty} t^2 h(t) dt - \dots$$

Definujme **i-ty moment váhovej funkcie**

$$M_i = \int_0^{\infty} t^i h(t) dt \quad \text{v diskretnom tvare}$$

$$M_i = \sum_{j=1}^N t_j^i h_j T_{vz}$$

kde h_j je vzorka impulznej charakteristiky v čase t_j a T_{vz} je perióda vzorkovania, potom

$$F(s) = M_0 - sM_1 + \frac{s^2}{2!}M_2 - \frac{s^3}{3!}M_3 + \dots = \frac{b_ms^m + b_{m-1}s^{m-1} + \dots + b_1s + b_0}{a_ns^n + a_{n-1}s^{n-1} + \dots + a_1s + 1}$$

Po roznásobení dostaneme

$$\left(M_0 - sM_1 + \frac{s^2}{2!}M_2 - \frac{s^3}{3!}M_3 + \dots \right) (a_ns^n + a_{n-1}s^{n-1} + \dots + a_1s + 1) = (b_ms^m + b_{m-1}s^{m-1} + \dots + b_1s + b_0)$$

Pomocou **porovnania koeficientov pri rovnakých mocninách s** na ľavej a pravej strane rovnice **zostavíme m+n+1 algebrických rovníc pre výpočet hľadaných koeficientov** $a_1, \dots, a_n, b_0, \dots, b_m$.

$$\Rightarrow \text{Pre } m=1 \text{ a } n=2 \quad F(s) = \frac{b_1s + b_0}{a_2s^2 + a_1s + 1}$$

Vytvorená **sústava algebrických rovníc** má tvar

$$\begin{array}{rcl} M_0 & = & b_0 \\ -M_1 + M_0a_1 & = & b_1 \\ \frac{M_2}{2!} - M_1a_1 + M_0a_2 & = & 0 \\ -\frac{M_3}{3!} + \frac{M_2}{2!}a_1 - M_1a_2 & = & 0 \end{array} \quad \Rightarrow \quad \begin{bmatrix} 0 & 0 & 1 & 0 \\ M_0 & 0 & 0 & -1 \\ -M_1 & M_0 & 0 & 0 \\ \frac{M_2}{2!} & -M_1 & 0 & 0 \end{bmatrix} \begin{bmatrix} a_1 \\ a_2 \\ b_0 \\ b_1 \end{bmatrix} = \begin{bmatrix} M_0 \\ M_1 \\ -\frac{M_2}{2!} \\ \frac{M_3}{3!} \end{bmatrix}$$

$$\Downarrow \quad \Downarrow \quad \Downarrow$$

$$\hat{\theta} = M^{-1}m \quad \Leftarrow \quad M \cdot \hat{\theta} = m$$

⇒ Pre $m=1$ a $n=3$ má sústava algebrických rovníc tvar

$$\begin{bmatrix} 0 & 0 & 0 & 1 & 0 \\ M_0 & 0 & 0 & 0 & -1 \\ -M_1 & M_0 & 0 & 0 & 0 \\ \frac{M_2}{2!} & -M_1 & M_0 & 0 & 0 \\ -\frac{M_3}{3!} & \frac{M_2}{2!} & -M_1 & 0 & 0 \end{bmatrix} \begin{bmatrix} a_1 \\ a_2 \\ a_3 \\ b_0 \\ b_1 \end{bmatrix} = \begin{bmatrix} M_0 \\ M_1 \\ M_2 \\ \frac{2!}{M_3} \\ -\frac{M_4}{4!} \end{bmatrix}$$

✓ **Postup:**

1. Z nameranej váhovej funkcie vypočítame momenty M_i , $i=1,2,\dots$ $M_i = \sum_{j=1}^N t_j^i h_j T_{vz}$
2. Zostavíme a vyriešime sústavu algebrických rovníc $\mathbf{M} \cdot \hat{\boldsymbol{\theta}} = \mathbf{m}$.

📄 **Príklad** → *priklad_met_momentov.pdf*

5.3. Identifikácia z odozvy na všeobecný signál

⇒ Ak je získanie odozvy na jednotkový skok alebo harmonický signál **obtiažne** alebo **nerealizovateľné**.

5.3.1. Metóda konvolútórneho integrálu

Model: neparametrický **FIR alebo SR model**

Neznáme parametre: ? $\{h_0, h_1, h_2, \dots, h_n\}$

Predpoklad: nameraná vstupná a výstupná veličina

⇒ Odozva systému na všeobecný vstupný signál je určená konvolúciou vstupného signálu a váhovej funkcie (impulznej charakteristiky)

$$y(t) = \int_0^t h(\tau) u(t-\tau) d\tau$$

Konvolútórny integrál môžeme nahradiť pre malý a konštantný časový krok $\Delta\tau$ sumáciou

$$y_k = \sum_{i=1}^n h_i u_{k-i} \Delta\tau$$

Pre $k=0, 1, \dots, n$ dostaneme sústavu lineárnych algebrických rovníc

$$\begin{bmatrix} y_1 \\ y_2 \\ \vdots \\ y_n \end{bmatrix} = \begin{bmatrix} u_0 & 0 & \dots & 0 \\ u_1 & u_0 & \dots & 0 \\ \vdots & \vdots & & \vdots \\ u_{n-1} & u_{n-2} & \dots & u_0 \end{bmatrix} \begin{bmatrix} h_1 \\ h_2 \\ \vdots \\ h_n \end{bmatrix} \Delta\tau$$

v maticovom tvare

⇒

$$\mathbf{y} = \mathbf{U} \mathbf{h} \Delta\tau$$

⇒ Dekonvolúciou získame neznámy vektor **h** - hodnoty váhovej funkcie

$$\mathbf{h} = \frac{1}{\Delta\tau} \mathbf{U}^{-1} \mathbf{y}$$

a následnou integráciou, resp. sumáciou získame hodnoty prechodovej charakteristiky

$$g_k = \Delta\tau \sum_{i=1}^k h_i \quad k=1, 2, \dots, n$$

⇒ **Modifikácia:** Nameriame vstupy a výstupy nasledovne: od času 0 do n-1 meriame iba u a potom do času 2n meriame u aj y

$$\mathbf{y} = \begin{bmatrix} y_n \\ y_{n+1} \\ \vdots \\ y_{2n} \end{bmatrix} \quad \mathbf{U} = \begin{bmatrix} u_{n-1} & u_{n-2} & \dots & u_0 \\ u_n & u_{n-1} & \dots & u_1 \\ \vdots & \vdots & & \vdots \\ u_{2n-1} & u_{2n-2} & \dots & u_n \end{bmatrix}$$

✓ **Postup:**

1. Z nameraných údajov vytvoríme vektor **y** a maticu **U**.
2. Vypočítame hodnoty váhovej funkcie $\mathbf{h} = \frac{1}{\Delta\tau} \mathbf{U}^{-1} \mathbf{y}$.
3. Môžeme ďalej prepočítať na poradnice prechodovej charakteristiky $g_k = \Delta\tau \sum_{i=1}^k h_i$, prípadne identifikovať parametrický model niektorou z predchádzajúcich metód.

📄 **Príklad** → *priklad_konv_integral.pdf*

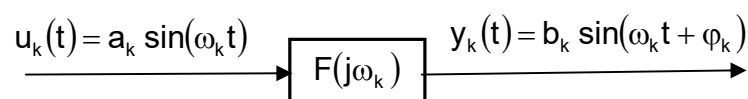
5.4. Identifikácia z frekvenčných charakteristík

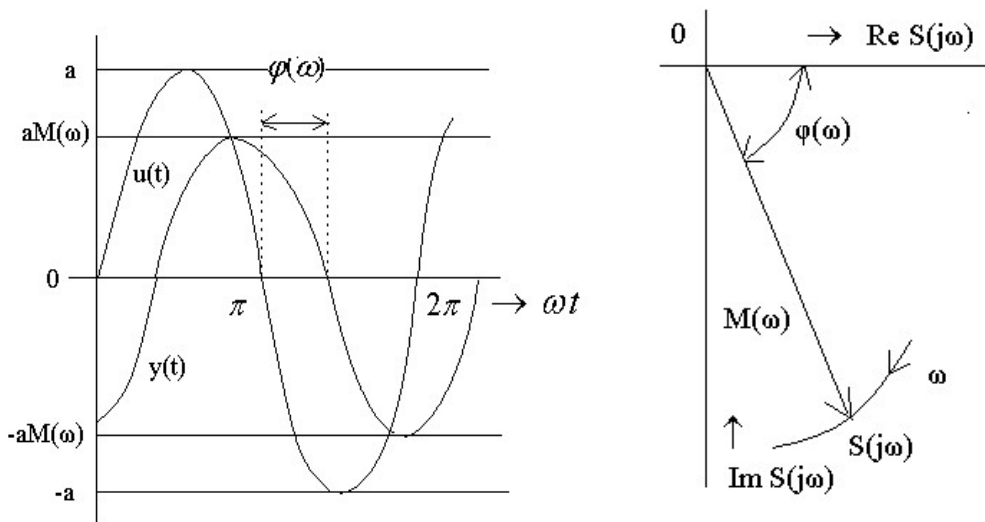
- 👍 **Pozitívum:** frekvenčné charakteristiky poskytujú informácie o dynamických vlastnostiach systému v celom meranom frekvenčnom rozsahu
- 👎 **Negatívum:** praktické meranie frekvenčných charakteristík je v reálnych procesoch dosť prácne, a často z prevádzkových dôvodov aj obtiažne alebo neprípustné

5.4.1. Odhad (meranie) frekvenčnej charakteristiky (neparametrický model)

a) Vyhodnotenie bodov frekvenčnej charakteristiky z odozvy na harmonický signál

⇒ na **vstup** systému pripojíme **zdroj harmonických kmitov** a pre nejaké amplitúdy a_k (rovnaké alebo rôzne) a **rôzne frekvencie harmonického signálu** ω_k , $k = 1, \dots, M$ **odmeriame odozvu systému** y_k





⇒ Pre **k-tu frekvenciu** ω_k , $k = 1, \dots, N$ určíme:

modul $M_k = \left| \hat{F}(j\omega_k) \right| = \frac{b_k}{a_k}$

fázový posun $\varphi_k = \arctg\left(\frac{b_k}{a_k}\right)$

čím získame **1 bod frekvenčnej charakteristiky** (Nyquist, Bode): $\hat{F}(j\omega_k) = M_k e^{j\varphi_k}$

kde $\text{Re } \hat{F}(j\omega_k) = U(j\omega_k) = M_k \cos(\varphi_k)$

$\text{Im } \hat{F}(j\omega_k) = V(j\omega_k) = M_k \sin(\varphi_k)$

⇒ Ak **poznáme reálnu a imaginárnu časť**

$\text{Re } \hat{F}(j\omega_k) = U(j\omega_k) = U_k$ a $\text{Im } \hat{F}(j\omega_k) = V(j\omega_k) = V_k$

potom môžeme **vypočítať modul a fázový posun**

$$M_k = \sqrt{U_k^2 + V_k^2}$$

$$\varphi_k = -\left(\pi - \arctg\left(\frac{V_k}{U_k}\right) \right)$$

☞ Pri meraní FCH **pozor na systémy s rezonanciou** – pri rezonančných frekvenciách treba zmenšiť amplitúdu vstupného signálu, aby nedošlo k poškodeniu zariadenia.

☞ **Odcítanie amplitúdy a fázového posunu z nameraných údajov je citlivé na šumy merania.**

⇒ **KORELAČNÁ METÓDA - potlačenie vplyvu šumu** - (bez odvodu)

Predpoklad: pre **vstupný harmonický signál** s frekvenciou ω_k

$$u_k(t) = a_k \cos(\omega_k t)$$

máme **nameranú navzorkovanú odozvu výstupu** (t_i, y_i) $i=1, \dots, N$ v dĺžke **1 periódy harmonického signálu** po odoznení prechodného deja

Pre danú frekvenciu ω_k vypočítame **korelácie výstupu so signálmi kosínusu a sínusu**

$$R_c(\omega_k) = \frac{1}{N} \sum_{i=1}^N y_i \cos(\omega_k t_i)$$

$$R_s(\omega_k) = \frac{1}{N} \sum_{i=1}^N y_i \sin(\omega_k t_i)$$

Potom **bod frekvenčnej charakteristiky pre frekvenciu ω_k** vypočítame

$$\hat{F}(j\omega_k) = \frac{R_c(\omega_k) - jR_s(\omega_k)}{a_k / 2}$$

modul

$$M_k = \frac{\sqrt{R_c^2(\omega_k) + R_s^2(\omega_k)}}{a_k / 2}$$

fázový posun

$$\varphi_k = - \left(\pi - \arctg \left(\frac{-R_s(\omega_k)}{R_c(\omega_k)} \right) \right)$$

b) Vyhodnotenie bodov frekvenčnej charakteristiky z prechodovej charakteristiky

Predpoklad: namerané body prechodovej charakteristiky g_0, g_1, \dots, g_N

⇒ Medzi prechodovou funkciou $g(t)$ a impulznou funkciou $h(t)$ je vzťah

$$h(t) = \frac{dg(t)}{dt} \quad \Rightarrow \quad dg(t) = h(t)dt$$

Frekvenčný prenos je Fourierov obraz impulznej funkcie

$$F(j\omega) = \int_0^{\infty} e^{-j\omega t} h(t) dt = \int_0^{\infty} e^{-j\omega t} dg(t)$$

Po dosadení za exponenciálny člen $e^{-j\omega t} = \cos(\omega t) - j \sin(\omega t)$

dostaneme $F(j\omega) = \int_0^{\infty} (\cos(\omega t) - j \sin(\omega t)) dg(t)$

Diskretizáciou dostaneme vzhľadom ku stredu intervalu výsledný vzťah

$$\hat{F}(j\omega_i) = \sum_{k=0}^N \left\{ \cos \left[\omega_i \left(k + \frac{1}{2} \right) \Delta t \right] - j \sin \left[\omega_i \left(k + \frac{1}{2} \right) \Delta t \right] \right\} (g_{k+1} - g_k) \quad i = 1, 2, \dots, m$$

N je počet diskrétnych hodnôt prechodovej charakteristiky
 m je počet bodov frekvenčnej charakteristiky
 Δt je perióda vzorkovania.

Maximálna frekvencia, pre ktorú môžeme frekvenčnú charakteristiku vyhodnotiť závisí od periódy vzorkovania

$$\omega_m < \frac{\pi}{\Delta t}$$

✓ **Postup:**

1. Zvolíme postupnosť frekvencií $\omega_i, i=1, 2, \dots, m$.
2. Vypočítame body frekvenčnej charakteristiky v týchto frekvenciách.

c) Vyhodnotenie bodov frekvenčnej charakteristiky z odozvy na všeobecný vstupný signál

Predpoklad: namerané hodnoty vstupnej a výstupnej veličiny u_k a y_k , $k=1, 2, \dots, N$

⇒ **Fourierova transformácia** pri spracovaní signálov slúži na **transformáciu z časovej oblasti do oblasti frekvenčnej**

Diskrétna Fourierova transformácia (DFT) signálu y_k , $k=1, \dots, N$

$$Y_N(\omega_i) = \frac{1}{\sqrt{N}} \sum_{k=1}^N y_k e^{-j\omega_i k} \quad \text{kde} \quad \omega_i = \frac{2\pi i}{N} \quad i = 1, \dots, N$$

Analogicky získame DFT vstupného signálu $U_N(\omega_i)$.

Predelením $Y_N(\omega_i)$ a $U_N(\omega_i)$ po zložkách pre $\omega_i = \frac{2\pi i}{N}$, $i=1, \dots, N$ dostaneme **odhad prenosovej funkcie** označovaný ako **Empirical Transfer Function Estimate - ETFE**

$$\hat{F}(j\omega_i) = \frac{Y_N(\omega_i)}{U_N(\omega_i)}$$

⇒ Ak má **šum merania nulovú strednú hodnotu**, pri použití **periodického vstupného signálu** dáva ETFE **nevychýlený odhad** prenosovej funkcie, avšak pri použití **neperiodického vstupného signálu** dáva iba **asymptoticky nevychýlený odhad**.

⇒ **Zlepšenie („vyhladenie“) odhadu prenosovej funkcie** – použitie **Hammingovho okna**
Na výpočet odhadu pri frekvencii ω_0 sa použijú $\hat{F}(j\omega_i)$ z intervalu

$$\frac{2\pi k_1}{N} = \omega_0 - \Delta\omega \leq \omega \leq \omega_0 + \Delta\omega = \frac{2\pi k_2}{N}$$
$$\hat{F}(j\omega_0) = \frac{1}{k_2 - k_1 + 1} \sum_{i=k_1}^{k_2} \hat{F}(j\omega_i) \quad \omega_i = \frac{2\pi i}{N}$$

☒ **Postup:**

1. Vypočítame DFT vstupného a výstupného signálu $U_N(\omega)$ a $Y_N(\omega)$.
2. Predelíme $Y_N(\omega)$ a $U_N(\omega)$ po zložkách pre $\omega = \frac{2\pi n}{N}$, $n=1, 2, \dots, N$, čím získame neparametrický model $F(j\omega_i)$, $i=1, 2, \dots, N$.
3. V prípade potreby môžeme identifikovať parametrický model niektorou z nasledujúcich metód.

⇒ Empirical Transfer Function Estimate v **Matlabe** – príkaz *etfe*.

5.4.2. Bodeho metóda (metóda asymptôt)

- ⇒ **Grafická metóda** – **hrubý odhad** prenosovej funkcie
- ⇒ **Asymptotická náhrada** nameranej a vykreslenej **amplitúdovej** logaritmickej frekvenčnej charakteristiky $20 \log |S(j\omega)|$
- ⇒ **Overenie** cez **fázovú** logaritmickú frekvenčnú charakteristiku

Prenos:

$$K \frac{\prod_{k=1}^m \left(1 + \frac{1}{z_k} s\right)}{s^r \prod_{k=1}^n \left(1 + \frac{1}{p_k} s\right)} e^{-Ds}$$

Neznáme parametre: ? K, m, n, r, z_k, p_k, D

Predpoklad: vykreslená amplitúdová a fázová logaritmická frekvenčná charakteristika

✓ **Postup:**

1. Amplitúdovú logaritmickú frekvenčnú charakteristiku aproximujeme priamkovými úsekmi so sklonom rovným celočíselnému násobku základného sklonu 20 dB/dek (asymptotami).
2. Zosilnenie určíme z asymptoty v oblasti najnižších frekvencií – priamka rovnobežná s x-osou $y = 20 \log K$.
3. Bod zlomu $\omega_i = \frac{1}{T_i}$ pri zmene sklonu o $\alpha_i \cdot 20 \text{ dB/dek}$ udáva časovú konštantu čiastkového prenosu $(1 + sT_i)^{\alpha_i}$ v čitateli (ak asymptota stúpa), alebo v menovateli (ak asymptota klesá). Chyba náhrady v mieste lomu je $\Delta_i = \alpha_i \cdot 3 \text{ dB}$.
4. Ak je zmena sklonu asymptôt $\pm 40 \text{ dB/dek}$ a chyba náhrady v mieste lomu $\Delta_i \neq 6 \text{ dB}$, potom ide o čiastkový prenos $(1 + 2b_i T_i s + T_i^2 s^2)$, hodnotu koeficientu tlmenia zistíme z veľkosti chyby náhrady $\Delta_i = 6 - 20 \log \frac{1}{b_i}$.
5. Rád astatizmu r určíme zo sklonu asymptoty v oblasti najnižších frekvencií $-r \cdot 20 \text{ dB/dek}$.
6. Porovnáme fázovú logaritmickú frekvenčnú charakteristiku výsledného frekvenčného prenosu $F(j\omega)$ s nameranou frekvenčnou charakteristikou skutočného systému $S(j\omega)$. Ak sa priebehy zhodujú, $S(s) = F(s)$.
7. Ku zhode fázových charakteristík nedôjde pri sústavách s neminimálnou fázou, kedy pravdepodobne pôjde o:
 - sústavu s dopravným oneskorením $S(s) = F(s)e^{-Ds}$, ak rozdiel fázových charakteristík má exponenciálny priebeh: $\arg S(j\omega) - \arg F(j\omega) = -\omega D$,
 - sústavu s nestabilnou nulou ak, rozdiel medzi fázovými frekvenčnými charakteristikami sa ustáli na hodnote $-\beta\pi$; v tomto prípade $S(s) = F(s) \left(\frac{1 - Ts}{1 + Ts} \right)^\beta$, pričom cez hodnotu $-\beta \cdot 90^\circ$ prechádza pri frekvencii $\omega = \frac{1}{T}$.

5.4.3. Vrbanova metóda

⇒ Výpočtová metóda



Negatívum: je potrebné poznať (vopred odhadnúť) rád modelu

Prenos:
$$\frac{b_0 + b_1 s + \dots + b_m s^m}{a_0 + a_1 s + \dots + s^n} \quad m \leq n$$

Neznáme parametre: **?** $b_0, \dots, b_m, a_0, \dots, a_{n-1}$

Predpoklad: namerané body frekvenčnej charakteristiky $\hat{F}(j\omega_k) = U(\omega_k) + jV(\omega_k)$ pre $k = 1, \dots, N$, pričom $N \geq n + m + 1$
rády čitateľa a menovateľa sú známe (odhadnuté)

⇒ Frekvenčný prenos vyjadríme v zložkovom tvare:

$$F(j\omega) = U(\omega) + jV(\omega) = \frac{u_1(\omega) + jv_1(\omega)}{u_2(\omega) + jv_2(\omega)} = \frac{B(j\omega)}{A(j\omega)} \Rightarrow \underbrace{\frac{U(\omega) + jV(\omega)}{\text{namerané}} - \frac{u_1(\omega) + jv_1(\omega)}{u_2(\omega) + jv_2(\omega)}}_{\text{model}} \rightarrow 0$$

kde

$$\begin{aligned} u_1(\omega) &= b_0 - b_2\omega^2 + b_4\omega^4 - b_6\omega^6 + \dots \\ v_1(\omega) &= \omega(b_1 - b_3\omega^2 + b_5\omega^4 - b_7\omega^6 + \dots) \\ u_2(\omega) &= a_0 - a_2\omega^2 + a_4\omega^4 - a_6\omega^6 + \dots \\ v_2(\omega) &= \omega(a_1 - a_3\omega^2 + a_5\omega^4 - a_7\omega^6 + \dots) \end{aligned}$$

Po roznásobení zložkového tvaru frekvenčného prenosu dostaneme reálnu a imaginárnu časť

$$\begin{aligned} u_1(\omega) - u_2(\omega)U(\omega) + v_2(\omega)V(\omega) &= 0 \\ v_1(\omega) - u_2(\omega)V(\omega) - v_2(\omega)U(\omega) &= 0 \end{aligned}$$

a ich rozdiel $u_1(\omega) - v_1(\omega) - u_2(\omega)[U(\omega) - V(\omega)] + v_2(\omega)[U(\omega) + V(\omega)] = 0$

Po dosadení za u_1, u_2, v_1, v_2 dostaneme

$$\sum_{q=0}^{n-1} (-1)^{\text{int}\left(\frac{q+1}{2}\right)} a_q x_q(\omega) - \sum_{q=0}^m (-1)^{\text{int}\left(\frac{q+1}{2}\right)} b_q \omega^q = (-1)^{\text{int}\left(\frac{n-1}{2}\right)} x_n(\omega)$$

čo musí byť splnené pre všetky ω_k ,

Po prenásobení oboch strán rovnice (-1) dostaneme

$$\begin{aligned} \sum_{q=0}^m (-1)^{\text{int}\left(\frac{q+1}{2}\right)} b_q \omega^q - \sum_{q=0}^{n-1} (-1)^{\text{int}\left(\frac{q+1}{2}\right)} a_q x_q(\omega) &= -(-1)^{\text{int}\left(\frac{n-1}{2}\right)} x_n(\omega) \\ b_0\omega^0 - b_1\omega \quad \Downarrow \quad b_2\omega^2 + b_3\omega^3 + \dots \quad \Downarrow \quad &(-1)^{\text{int}\left(\frac{m+1}{2}\right)} b_m \omega^m - \\ -a_0 x_0(\omega) + a_1 x_1(\omega) + a_2 x_2(\omega) - a_3 x_3(\omega) - \dots - &(-1)^{\text{int}\left(\frac{n-2}{2}\right)} a_{n-1} x_{n-1}(\omega) = \\ = -(-1)^{\text{int}\left(\frac{n-1}{2}\right)} x_n(\omega) \end{aligned}$$

Vyjadrené vo vektorovom tvare:

$$\mathbf{h}(\omega)^T \hat{\boldsymbol{\theta}} = y(\omega)$$

kde

$$y(\omega) = -(-1)^{\text{int}\left(\frac{n-1}{2}\right)} x_n(\omega)$$

$$\hat{\boldsymbol{\theta}} = (b_0, b_1, b_2, b_3, \dots, b_m, a_0, a_1, a_2, a_3, \dots, a_{n-1})^T$$

$$\mathbf{h}(\omega)^T = \left(1, -\omega, -\omega^2, \omega^3, \dots, (-1)^{\text{int}\frac{m+1}{2}} \omega^m, -x_0(\omega), x_1(\omega), x_2(\omega), -x_3(\omega), \dots, (-1)^{\text{int}\frac{n-2}{2}} x_{n-1}(\omega) \right)$$

Premenné $x_q(\omega)$ sú funkciou nameraných údajov

$$x_q(\omega) = \omega^q [U(\omega) + (-1)^{q+1} V(\omega)] \quad q = 0, \dots, n$$

Po zapísaní do vektorového tvaru dostaneme preurčený systém rovníc

$$\boxed{\mathbf{H}\hat{\boldsymbol{\theta}} = \mathbf{y}}$$

$$\mathbf{H} = \begin{pmatrix} \mathbf{h}^T(\omega_1) \\ \mathbf{h}^T(\omega_2) \\ \vdots \\ \mathbf{h}^T(\omega_N) \end{pmatrix} \quad \hat{\boldsymbol{\theta}} = (b_0, b_1, \dots, b_m, a_0, a_1, \dots, a_{n-1})^T$$

$$\mathbf{h}(\omega)^T = \left(1, -\omega, -\omega^2, \omega^3, \dots, (-1)^{\text{int}\frac{m+1}{2}} \omega^m, -x_0(\omega), x_1(\omega), x_2(\omega), -x_3(\omega), \dots, (-1)^{\text{int}\frac{n-2}{2}} x_{n-1}(\omega) \right)$$

$$\mathbf{y} = - \left((-1)^{\text{int}\frac{n-1}{2}} x_n(\omega_1), \dots, (-1)^{\text{int}\frac{n-1}{2}} x_n(\omega_N) \right)^T$$

$$x_q(\omega) = \omega^q [U(\omega) + (-1)^{q+1} V(\omega)] \quad q = 0, \dots, n$$

✓ Postup:

1. Z nameraných hodnôt $\hat{F}(j\omega_k) = U(\omega_k) + jV(\omega_k)$, $k = 1, \dots, N$ vytvoríme maticu \mathbf{H} a vektor \mathbf{y} .
2. Vypočítame odhad parametrov $\hat{\boldsymbol{\theta}}$ (Gaussovým vzťahom).

5.4.4. Levyho metóda

⇒ Výpočtová metóda

☞ **Negatíva:** je potrebné poznať (vopred odhadnúť) rád modelu
nevhodné pre systémy s astatizmom

Prenos:
$$\frac{b_0 + b_1 s + \dots + b_m s^m}{1 + a_1 s + \dots + a_n s^n} = \frac{B(s)}{A(s)}$$

Neznáme parametre: ? $b_0, \dots, b_m, a_1, \dots, a_n$

Predpoklad: namerané body frekvenčnej charakteristiky

$$F_k = \hat{F}(j\omega_k) = U(\omega_k) + jV(\omega_k), \quad k = 1, \dots, N$$

rády čitateľa a menovateľa sú známe (odhadnuté)

\Rightarrow Predpokladáme, že platí
$$F_k = F(j\omega_k) = \frac{B(j\omega_k)}{A(j\omega_k)}$$

Minimalizujeme sumu štvorcov odchýliek
$$J = \sum_{k=1}^N e_k^* e_k,$$

kde $e_k = A(j\omega_k)F_k - B(j\omega_k)$ a $*$ označuje transpozíciu komplexne združeného čísla.

Po zavedení vektorov $\hat{\theta} = (a_1, a_2, \dots, a_n, b_0, b_1, \dots, b_m)^T$

$$H = \begin{pmatrix} -j\omega_1 F_1 & \dots & -(j\omega_1)^n F_1 & 1 & j\omega_1 & \dots & (j\omega_1)^m \\ \vdots & \ddots & \vdots & \vdots & \vdots & \ddots & \vdots \\ -j\omega_N F_N & \dots & -(j\omega_N)^n F_N & 1 & j\omega_N & \dots & (j\omega_N)^m \end{pmatrix} \quad y = \begin{pmatrix} F_1 \\ \vdots \\ F_N \end{pmatrix}$$

je odhad parametrov prenosu $\hat{\theta} = [\text{Re}(H^* H)]^{-1} \text{Re}(H^* y)$

* označuje transpozíciu komplexne združeného čísla

☒ **Postup:**

1. Z nameraných hodnôt F_k , $k = 1, \dots, N$ vytvoríme maticu H a vektor y .
2. Vypočítame odhad parametrov $\hat{\theta}$.

 **Príklady** \rightarrow *priklady_frekw_char.pdf + cvičenia*